

ЛИТЕРАТУРА

1. Овсянников Л. В. Введение в механику сплошных сред // Учебное пособие для студентов НГУ.— Новосибирск: НГУ, 1977.— Ч. I, II.
2. Ландау Л. Д., Лифшиц Е. М. Статистическая физика.— М.: Наука, 1964.
3. Мейрманов А. М. Задача Стефана.— Новосибирск: Наука, 1986.
4. Олейник О. А. Об одном методе решения общей задачи Стефана // ДАН СССР.— 1960.— Т. 135, № 5.
5. Борисов В. Т., Виноградов В. В., Тяжельникова И. Л. Квазиравновесная теория двухфазной зоны и ее применение к затвердеванию сплавов // Изв. вузов. Черн. металлургия.— 1977.— № 5.
6. Зельдович Я. Б., Райзер Ю. П. Физика ударных волн и высокотемпературных гидродинамических явлений.— М.: Физматгиз, 1963.
7. Кронрод А. С. О функциях двух переменных // УМН.— 1950.— Т. 5, вып. 1.
8. Чупахин А. П., Сидельников А. А., Болдырев В. В. Влияние возникающих при твердофазных превращениях механических напряжений на их кинетику // Изв. СО АН СССР. Сер. хим. наук.— 1985.— Вып. 6.

Поступила 20/I 1987 г.

УДК 532.526

НЕСТАЦИОНАРНЫЙ ПРОСТРАНСТВЕННЫЙ ЛАМИНАРНЫЙ ПОГРАНИЧНЫЙ СЛОЙ НА ЗАТУПЛЕННЫХ ТЕЛАХ ПРИ СИЛЬНОМ ВДУВЕ

С. В. Пейгин, Б. Ф. Филоненко
(Томск)

Исследование нестационарного тепло- и массообмена при течении сжимаемого газа около затупленных тел с проницаемой поверхностью необходимо для решения многих прикладных задач. В частности, такие задачи возникают при принудительном, зависящем в общем случае от времени выдувании газа через пористую либо перфорированную поверхность с целью организации газовой завесы. Аналогичные вопросы возникают также при рассмотрении ряда устройств химической технологии в различных режимах их работы.

В связи с этим в литературе имеется ряд работ, в которых как приближенными аналитическими [1, 2], так и численными методами [3—5] изучались нестационарные процессы, происходящие в ламинарных плоских либо осесимметричных пограничных слоях в сжимаемом газе на непроницаемой поверхности. Влияние вдува (отсоса) на характеристики нестационарного двумерного пограничного слоя рассматривалось в [6, 7]. Вопросы нестационарного теплообмена в окрестности критической точки двойной кривизны освещены в [8, 9], а влияния интенсивного вдува на основные характеристики стационарного течения в пространственном ламинарном пограничном слое — в [10—13].

В настоящей работе в широком диапазоне изменения определяющих параметров задачи получены численные и асимптотические решения уравнений нестационарного пространственного ламинарного пограничного слоя на проницаемой поверхности, в том числе для случая сильного вдува.

1. Постановка задачи. Рассмотрим пространственное нестационарное обтекание сверхзвуковым потоком газа затупленных тел с проницаемой поверхностью при больших числах Рейнольдса Re набегающего потока. Выберем невырожденную криволинейную систему координат (x^1, x^2, x^3) с началом в критической точке, нормально связанную с обтекаемой поверхностью: $x^3 = \text{const}$ — семейство поверхностей, параллельных поверхности тела ($x^3 = 0$), x^1 и x^2 — криволинейные координаты на поверхности.

Далее исследуем такие тела, для которых продольный градиент давления ∇p^* , полученный из решения уравнений, описывающих невязкое обтекание данного тела,— величина порядка $O(\rho_\infty V_\infty^2/L)$. Как показывает асимптотический анализ нестационарных пространственных уравнений Навье — Стокса для случая гиперзвукового обтекания тел при наличии вдува при выполнении условий

$$(1.1) \quad \frac{\rho_w^* v_w^*}{\rho_\infty V_\infty} \leq O(1), \quad \lambda = \frac{\rho_w^* v_w^*}{\rho_\infty V_\infty^2} \ll 1, \quad \text{Re} = \frac{\rho_\infty V_\infty L}{\mu_0^*} \gg 1,$$

уравнения нестационарного пространственного ламинарного пограничного слоя асимптотически верно описывают течение в пристенном слое около поверхности тела. В системе координат (x^1, x^2, x^3) по своему виду они отличаются от уравнений, описывающих стационарное течение в трехмерном пограничном слое и приведенных, например, в [13], лишь рядом нестационарных членов: в уравнение неразрывности необходимо дописать член $Vg \partial \rho / \partial t$, а во всех остальных заменить оператор D на $D^* = D + \partial / \partial t$. Данные уравнения решаются с граничными условиями

$$(1.2) \quad x^3 \rightarrow \infty: u = u_e(x^1, x^2, t), w = w_e(x^1, x^2, t), T = T_e(x^1, x^2, t);$$

$$(1.3) \quad x^3 = 0: u = u_w(x^1, x^2, t), w = w_w(x^1, x^2, t), T = T_w(x^1, x^2, t),$$

$$\rho v = G(x^1, x^2, t), \quad \lim_{x^1, x^2 \rightarrow 0} \frac{u_w}{u_e} < \infty, \quad \lim_{x^1, x^2 \rightarrow 0} \frac{w_w}{w_e} < \infty.$$

Для удобства численного решения задачи перейдем в исходной системе уравнений и граничных условий к переменным типа А. А. Дородницына, позволяющим разрешить особенности в критической точке, а также в плоскостях симметрии исследуемого течения:

$$(1.4) \quad \xi = x^1, \quad \eta = x^2, \quad \zeta = \frac{u_e}{\xi} \sqrt{\frac{g}{g_{11}}} \int_0^{x^3} \rho dx^3, \quad \tau = t, \\ u^* = \frac{u}{u_e} = \frac{\partial \Phi_1}{\partial \xi}, \quad w^* = \frac{w}{w_e} = \frac{\partial \Phi_2}{\partial \xi}, \quad \Theta = \frac{T}{T_e}, \quad l = \frac{\mu \rho}{\mu_e \rho_e}.$$

В переменных (1.4) исходная система уравнений и граничных условий примет вид (индекс * опускаем)

$$(1.5) \quad (lu'_\xi)'_\xi = Du + \beta_1(u^2 - \Theta) + \beta_2(w^2 - \Theta) + \beta_3(uw - \Theta) + \gamma_1(u - \Theta),$$

$$(lw'_\xi)'_\xi = Dw + \beta_4(w^2 - \Theta) + \beta_5(u^2 - \Theta) + \beta_6(uw - \Theta) + \gamma_2(w - \Theta),$$

$$\left(\frac{l}{\sigma} \Theta'_\xi \right)'_\xi = D\Theta + \Theta(\beta_7 + \beta_8 u + \beta_9 w) - l[\alpha_6(u'_\xi)^2 + \alpha_7 u'_\xi w'_\xi + \alpha_8(w'_\xi)^2],$$

$$D = \alpha_0 \frac{\partial}{\partial \tau} + \alpha_1 u \frac{\partial}{\partial \xi} + \alpha_2 w \frac{\partial}{\partial \eta} - (\alpha_1 \varphi'_1 \xi + \alpha_2 \varphi'_2 \eta + \alpha_3 \varphi_1 + \alpha_4 \varphi_2 + \alpha_5) \frac{\partial}{\partial \zeta};$$

$$(1.6) \quad \zeta \rightarrow \infty: u = w = \Theta = 1;$$

$$(1.7) \quad \zeta = 0: u = u_w, w = w_w, \Theta = \Theta_w,$$

$$(\xi \varphi_1)'_\xi + (\alpha_2 \varphi_2)'_\eta = -Vg G(\xi, \eta) \equiv F_w.$$

Выражения для коэффициентов уравнений (1.5) не приводятся. Отметим только, что они являются известными функциями и зависят от времени, геометрии обтекаемого тела и распределения давления вдоль его поверхности.

2. Асимптотическое решение задачи при сильном вдуве. Рассмотрим случай, когда параметр вдува, обычно используемый в теории ламинарного пограничного слоя [10 — 13], $f_w = V \text{Re} \rho_w^* v_w^* / \rho_\infty V_\infty$ будет достаточно большим. При этом задача становится сингулярной и решать ее можно методом сращиваемых асимптотических разложений [14]. Погра-

ничный слой разбивается на слой вдува, примыкающий к телу, где эффекты молекулярного переноса в первом приближении несущественны, и на слой смешения, где они играют основную роль.

Слой вдува. Течение в слое вдува в первом приближении описывается системой уравнений

$$(2.1) \quad \begin{aligned} \frac{\partial}{\partial t} (\rho V g \rho) + \frac{\partial}{\partial x} \left(\rho u \sqrt{\frac{g}{g_{11}}} \right) + \frac{\partial}{\partial y} \left(\rho w \sqrt{\frac{g}{g_{22}}} \right) + \frac{\partial}{\partial z} (\rho v V g) = 0, \\ \rho(Du + A_1 u^2 + A_2 w^2 + A_3 uw) = A_4, \\ \rho(Dw + B_1 u^2 + B_2 w^2 + B_3 uw) = B_4, \\ \rho DT = \frac{\gamma-1}{\gamma} D^0 p, \quad x \equiv x^1, \quad y \equiv x^2, \quad z \equiv x^3, \end{aligned}$$

которая решается при начальных условиях

$$(2.2) \quad t = 0: u = u^0(x, y, z), w = w^0(x, y, z), T = T^0(x, y, z), v = v^0(x, y, z)$$

(верхним индексом 0 отмечены стационарные решения системы (2.1), приведенные в [11, 12]). В качестве граничных условий к системе (2.1) берутся условия (1.3) на поверхности тела.

Рассмотрим случай, когда давление на внешней границе пограничного слоя и температура тела в критической точке не зависят от времени:

$$(2.3) \quad \frac{\partial p}{\partial t} = 0, \quad \frac{\partial T_w}{\partial t}(0, 0) = 0.$$

Тогда решение системы (2.1), (2.2), (1.3) в окрестности критической точки удается выписать в квадратурах:

$$(2.4) \quad \begin{aligned} \left| \frac{(u(t, \tau) + 1)(U(\tau) - 1)}{(u(t, \tau) - 1)(U(\tau) + 1)} \right| &= \exp[2(t - \tau g(\tau))], \\ \left| \frac{(w(t, \tau) + 1)(W(\tau) - 1)}{(w(t, \tau) - 1)(W(\tau) + 1)} \right| &= \exp[2\alpha(t - \tau g(\tau))], \\ z(t, \tau) &= \tau(g(\tau) - 1) + \int_{\tau g(\tau)}^t v dt, \\ v(t, \tau) &= V(\tau) - \int_{\tau(g(\tau)-1)}^z (u + \alpha w) dz, \\ U(\tau) &= \begin{cases} u_w(\tau), & \tau \geq 0, \\ u^0(-\tau), & \tau < 0, \end{cases} \quad W(\tau) = \begin{cases} w_w(\tau), & \tau \geq 0, \\ w^0(-\tau), & \tau < 0, \end{cases} \\ V(\tau) &= \begin{cases} v_w(\tau), & \tau \geq 0, \\ v^0(-\tau), & \tau < 0, \end{cases} \quad \tau = \begin{cases} t^*, & \tau \geq 0, \\ -z^*, & \tau < 0, \end{cases} \quad g(\tau) = \frac{1}{2}(\operatorname{sgn}(\tau) + 1), \\ \alpha &= \sqrt{\frac{p_{2y}}{p_{2x}}}, \quad p_{2x} = -\frac{\gamma-1}{2\gamma} \rho_w^{-1} \frac{\partial^2 p}{\partial x^2}(0, 0), \quad p_{2y} = -\frac{\gamma-1}{2\gamma} \rho_w^{-1} \frac{\partial^2 p}{\partial y^2}(0, 0). \end{aligned}$$

Здесь t^* , z^* — координаты t и z выхода характеристики системы (2.1) в плоскости (t, z) с координатных линий $z = 0$ и $t = 0$ соответственно; $u_1 = p_{2x}^{-1/2} u'_x$; $w_1 = p_{2y}^{-1/2} w'_y$; $z_1 = p_{2x}^{1/2} z$; $i_1 = p_{2x}^{1/2} i$; индекс 1 опущен. Значения всех величин на разделяющей линии тока получаются из (2.4), если в них положить $\tau = -z^0$ (z^0 — координата z разделяющей линии тока в критической точке в стационарном решении).

В общем случае решение для профилей скоростей и температуры в слое вдува может быть найдено либо численно, либо в виде рядов по нормальной координате z .

На поверхности тела имеем асимптотические формулы для компонент напряжения трения и теплового потока:

$$\begin{aligned}\tau_x &\equiv \mu \frac{\partial u}{\partial z} \Big|_{z=0} = \frac{\mu}{(\rho v)_v} \left[A_4 - (A_1 u_w^2 + A_2 w_w^2 + A_3 u_w w_w) \rho_w - \right. \\ &\quad \left. - \rho_w \left(\frac{\partial u_w}{\partial t} + \frac{u_w}{\sqrt{g_{11}}} \frac{\partial u_w}{\partial x} + \frac{w_w}{\sqrt{g_{22}}} \frac{\partial u_w}{\partial y} \right) \right], \\ \tau_y &\equiv \mu \frac{\partial w}{\partial z} \Big|_{z=0} = \frac{\mu}{(\rho v)_v} \left[B_4 - \rho_w \left(B_1 u_w^2 + B_2 w_w^2 + B_3 u_w w_w + \right. \right. \\ &\quad \left. \left. + \frac{\partial w_w}{\partial t} + \frac{u_w}{\sqrt{g_{11}}} \frac{\partial w_w}{\partial x} + \frac{w_w}{\sqrt{g_{22}}} \frac{\partial w_w}{\partial y} \right) \right], \\ q &\equiv \lambda \frac{\partial T}{\partial z} \Big|_{z=0} = - \frac{\lambda}{c_p (\rho v)_v} \left[c_p \rho_w \left(\frac{\partial T_w}{\partial t} + \frac{u_w}{\sqrt{g_{11}}} \frac{\partial T_w}{\partial x} + \frac{w_w}{\sqrt{g_{22}}} \frac{\partial T_w}{\partial y} \right) - \right. \\ &\quad \left. - \frac{\partial p}{\partial t} - \frac{u_w}{\sqrt{g_{11}}} \frac{\partial p}{\partial x} - \frac{w_w}{\sqrt{g_{22}}} \frac{\partial p}{\partial y} \right].\end{aligned}$$

Слой смешения. В окрестности разделяющей линии тока $z = z^*(x, y, t)$ в слое смешения вдуваемого газа и набегающего потока уравнения (2.1) становятся непригодными. Можно показать, что уравнения, определяющие структуру слоя смешения, совпадают по своему виду с исходными уравнениями нестационарного пространственного пограничного слоя, если в них заменить v на $V \equiv v - D^0 z^*$. Границные условия при этом следующие:

$$\begin{aligned}u &\rightarrow u_e, \quad w \rightarrow w_e, \quad T \rightarrow T_e \text{ при } z \rightarrow \infty, \\ u &\rightarrow u_-, \quad w \rightarrow w_-, \quad T \rightarrow T_- \text{ при } z \rightarrow -\infty, \\ V &= 0 \quad \text{при } z = 0,\end{aligned}$$

$u_-(x, y, t)$, $w_-(x, y, t)$, $T_-(x, y, t)$ определяются из решения внешней задачи в слое вдува на разделяющей линии тока. При этом, как видно из анализа решения внешней задачи, если условия (2.3) выполнены, то в первом приближении структура слоя смешения в переменных (1.4) не зависит от времени и совпадает со стационарным решением, полученным в [11, 15].

3. Численное решение задачи. Обсуждение результатов расчетов. Система уравнений (1.5)–(1.7) решалась численно на ЭВМ. Использовалась неявная разностная схема четвертого порядка точности по координате ζ , представляющая собой обобщение схемы [16] для пространственных нестационарных течений в пограничном слое. Рассматривалось обтекание под нулевым углом атаки эллиптического параболоида, уравнение поверхности которого в декартовой системе координат (y^1, y^2, y^3) имеет вид

$$(3.1) \quad y^3 = 0,5[(y^1)^2 + k^2(y^2)^2],$$

где k — отношение радиусов главных кривизн тела в критической точке. Набегающий поток считался гиперзвуковым и стационарным, давление на внешней границе пограничного слоя определялось по формуле Ньютона. Координаты (x^1, x^2) на поверхности тела выбирались аналогично [13], а определяющие параметры задачи варьировались в пределах

$$(3.2) \quad 0,01 \leq k \leq 1, \quad 0,1 \leq \Theta_w \leq 0,5, \quad 0,5 \leq \omega \leq 1,0, \quad \sigma = 0,71, \\ 0 \leq -F_m \leq 5.$$

При этом массовый расход газа через поверхность F_w и ее температура Θ_w — кусочно-гладкие функции ξ , η , τ , допускающие разрывы первого рода.

В процессе решения находили профили скорости и температуры поперек пограничного слоя, а также коэффициенты трения и теплообмена

$$(3.3) \quad c_\xi := \mu \frac{\partial u}{\partial \zeta}, \quad c_\eta = \mu \frac{\partial w}{\partial \zeta}, \quad c_q = \lambda \frac{\partial \Theta}{\partial \zeta}.$$

Рассмотрим течение в окрестности критической точки двойкой кривизны. В качестве примера возьмем непрерывные и разрывные зависимости F_w , Θ_w от времени:

$$(3.4a, b) \quad F_w = F_w^0 - \sin^2 \tau, \quad F_w = \begin{cases} a_1 & (\tau = 0), \\ a_2 & (\tau > 0); \end{cases}$$

$$(3.5a, b) \quad \Theta_w = \begin{cases} b_1 & (\tau = 0), \\ b_1 + b_2 \tau & (0 < \tau \leq \tau_0), \\ b_1 + b_2 \tau_0 & (\tau > \tau_0), \end{cases} \quad \Theta_w = \begin{cases} c_1 & (\tau = 0), \\ c_2 & (\tau > 0) \end{cases}$$

(a_i , b_i , c_i — константы).

Некоторые результаты расчетов приведены на рис. 1—3. На рис. 1 изображены профили u (линии 1, 2, 4) и w (линии 3, 5, 6) поперек пограничного слоя для $\tau = 0,03; 3,3; 10,3$ (линии 4 и 6; 2 и 5; 1 и 3 соответственно) при $k = 0,5$, $F_w = -10$, $\omega = 0,5$, $\gamma = 1,4$ и задании Θ_w по закону (3.5а) ($b_1 = 0,1$, $b_2 = 1$, $\tau_0 = 0,15$); штриховыми линиями показано асимптотическое решение задачи в слое вдува.

Видно, что, хотя при $\tau > \tau_0$ температура поверхности тела Θ_w уже не зависит от времени, структура слоя вдуваемых газов достаточно долго зависит от времени. При этом, как следует из асимптотического решения, внутри слоя вдува формируются локальные экстремумы в профилях скорости и температуры. В целом анализ полученных решений позволяет сделать вывод о том, что, как и в стационарном случае [13], асимптотическое решение имеет хорошую точность при $-F_w \geq 3-5$.

Проведенные расчеты позволили выявить ряд интересных закономерностей течения. Прежде всего необходимо отметить, что абсолютные значения коэффициентов трения и теплообмена на поверхности тела сильно зависят от определяющих параметров задачи. Так, при задании граничных условий в виде (3.4а), (3.5а) изменение c_ξ , c_q при увеличении k от 0,01 до 1 составляло 40—50%. В то же время относительные величины компонент напряжения трения и теплового потока, отнесенных к своим стационарным значениям

$$(3.6) \quad c_\xi^0 = \frac{c_\xi(\tau)}{c_\xi(0)}, \quad c_\eta^0 = \frac{c_\eta(\tau)}{c_\eta(0)}, \quad c_q^0 = \frac{c_q(\tau)}{c_q(0)},$$

являются существенно более консервативными и слабо зависят от ряда определяющих параметров задачи.

Во-первых, как показали расчеты, c_ξ^0 , c_η^0 , c_q^0 практически не зависят от геометрического параметра k . Например, при задании F_w по закону (3.4а) значение c_q^0 , найденное при $k = 0,01$, отличалось от c_q^0 , подсчитанного при $k = 0,75$, на 1,5—2%.

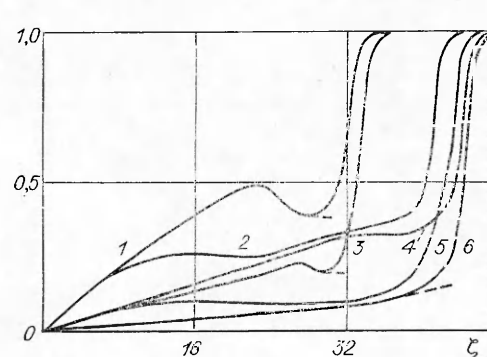


Рис. 1

Соответствующее изменение c_ξ^0 , c_η^0 составляло 2—4%. Во-вторых, указанные характеристики слабо зависят от параметров γ , ω .

В качестве примера, подтверждающего указанные закономерности течения, можно взять рис. 2, где приведены зависимости c_ξ^0 от времени для различных законов задания $F_w(\tau)$ и $\Theta_w(\tau)$. Здесь линии 1, 2 соответствуют граничным условиям (3.4а) ($F_w^0 = -4$); 3 — условиям (3.4а) ($F_w^0 = -4$),

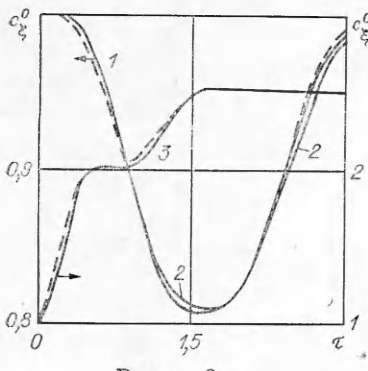


Рис. 2

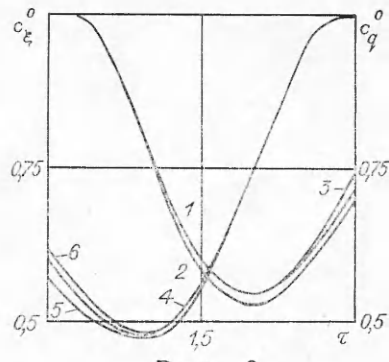


Рис. 3

(3.5a) ($b_1 = 0,1$, $b_2 = 0,25$, $\tau_0 = 0,6$); штриховые кривые — асимптотическое решение при сильном вдуве; линия 1 для $k = 0,01$, $\Theta_w = 0,25$, $\gamma = 1,4$; 2 — $k = 0,5$, $\Theta_w = 0,1$, $\gamma = 1,1$; 3 — $k = 0,75$, $\gamma = 1,2$. Аналогичные зависимости c_ξ^0 и c_q^0 (линии 1—3 и 4—6 соответственно) для граничного условия (3.4а) ($F_w^0 = -0,5$) и стационарной температуры поверхности даны на рис. 3. Здесь кривые 1, 4 для $k = 0,5$, $\Theta_w = 0,1$, $\gamma = 1,4$; 2, 5 — $k = 1,0$, $\Theta_w = 0,25$, $\gamma = 1,2$; 3, 6 — $k = 0,1$, $\Theta_w = 0,2$, $\gamma = 1,1$.

Исходя из отмеченной слабой зависимости c_ξ^0 , c_η^0 , c_q^0 от отношения радиусов главных кривизн тела в критической точке k , можно предложить следующие формулы для расчета в окрестности критической точки двоякой кривизны абсолютных нестационарных значений компонент напряжения трения и теплового потока на поверхности тела:

$$(3.7) \quad c_\xi(k, \tau) = c_\xi^*(k) c_\xi^0(1, \tau), \quad c_\eta(k, \tau) = c_\eta^*(k) c_\eta^0(1, \tau), \\ c_q(k, \tau) = c_q^*(k) c_q^0(1, \tau),$$

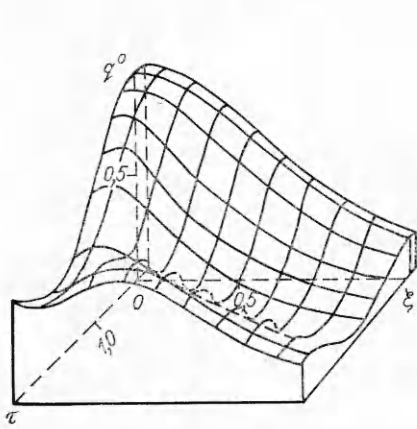
где $c_\xi^*(k)$, $c_\eta^*(k)$, $c_q^*(k)$ определяются из стационарного решения задачи и могут быть подсчитаны по аналитическим формулам [13]; $c_\xi^0(1, \tau)$, $c_\eta^0(1, \tau)$, $c_q^0(1, \tau)$ — относительные величины компонент напряжения трения и теплового потока, вычисленные для обтекания осесимметричного тела. Формулы (3.7) позволяют вычислить c_ξ , c_η , c_q для произвольного k , зная лишь соответствующие решения для осесимметричного случая. Сравнение (3.7) с численным решением задачи в широком диапазоне изменения k , γ и коэффициентов в условиях (3.4), (3.5) показало, что максимальное их отличие не превосходит 7—8%.

Рассмотрим течение в окрестности плоскости симметрии $y^2 = 0$. Температура поверхности считалась стационарной, а параметр вдува F_w функцией (в том числе и разрывной) времени и координаты $\xi = y^1$. В процессе расчета наряду с профилями скорости и температуры определялись также относительные коэффициенты

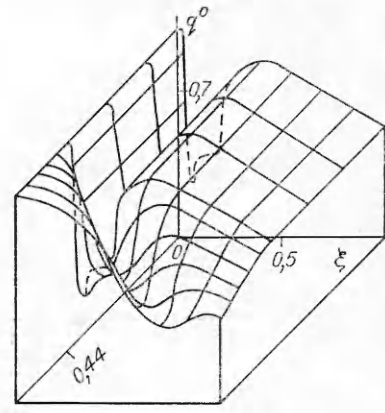
$$(3.8) \quad \tau_\xi^0 = \frac{c_\xi(\xi, \tau)}{c_\xi(0, 0)}, \quad \tau_\eta^0 = \frac{c_\eta(\xi, \tau)}{c_\eta(0, 0)}, \quad q^0 = \frac{c_q(\xi, \tau)}{c_q(0, 0)},$$

значения которых в критической точке совпадают с соответствующими величинами, определяемыми по формулам (3.6). Некоторые характерные примеры распределения q^0 при $k = 0,25$, $\omega = 0,5$, $\gamma = 1,4$ и различных способах задания $F_w = F_w(\xi, \tau)$ и Θ_w приведены на рис. 4, 5: рис. 4 — непрерывная зависимость F_w от времени в виде (3.4а) ($F_w^0 = -0,5$) при $\Theta_w = 0,1$; рис. 5 — расчет, когда $\Theta_w = 0,25$, $F_w = -0,5$ (при $\tau < 0,45$ и $0,05 \leq \xi \leq 0,25$) и $F_w = 0$ (в остальных случаях).

Сравнения показали, что наличие разрыва в векторе скорости и вдуваемого газа как по времени, так и по пространству сильно сказывается



Р и с. 4



Р и с. 5

на характере τ_ξ^0 , τ_η^0 , q^0 . Однако проведенные расчеты в целом позволяют сделать вывод о том, что влияние разрывного характера зависимости граничных условий от времени и пространственных координат в сильной степени локализуется в окрестности отвечающих точек или линий разрывов. Аналогичный результат для стационарных течений в пространственном пограничном слое при наличии частично проницаемого участка поверхности получен в [17].

ЛИТЕРАТУРА

1. Grieken R. J. The laminar boundary layer on a hot cylinder fixed in a fluctuating stream // J. Appl. Mech.—1961.—V. 28.—P. 339.
2. Telionis P. P., Gupta T. R. Compressible oscillating boundary layers // AIAA J.—1977.—V. 15, N 7.
3. Виленский В. Д. Нестационарный конвективный теплообмен при внешнем обтекании тел // ТВТ.—1974.—Т. 12, № 5.
4. Vimala C. S., Nath G. Unsteady laminar boundary layers in compressible stagnation flow // J. Fluid Mech.—1975.—V. 70.—P. 561.
5. Прозорова Э. В. Решение уравнений нестационарного пограничного слоя // ПМТФ.—1983.—№ 2.
6. Tsahalis D. T. Turbulent boundary layers with unsteady injection-suction // Trans. ASME. J. Fluids Engng.—1980.—V. 102, N 3.
7. Корниенко Е. С., Шманенков В. Н. О влиянии вдува на характеристики нестационарного пограничного слоя на колеблющемся клине в сверхзвуковом потоке // Изв. АН СССР. МЖГ.—1981.—№ 1.
8. Nath G., Kumari M. Unsteady three-dimensional compressible stagnation point boundary layers // AIAA J.—1978.—V. 16, N 9.
9. Kumari M., Nath G. Unsteady 3-dimensional boundary layer flow near an asymmetric stagnation point with mass transfer // Intern. J. Engng Sci.—1980.—V. 18, N 11.
10. Гершбейн Э. А. Асимптотическое решение уравнений трехмерного пограничного слоя при сильном вдуве // Изв. АН СССР. МЖГ.—1975.—№ 2.
11. Гершбейн Э. А., Пейгин С. В. Ламинарный пространственный пограничный слой в плоскостях симметрии затупленных тел при сильном вдуве // ТВТ.—1981.—Т. 19, № 3.
12. Гершбейн Э. А., Пейгин С. В. О численных и асимптотических решениях уравнений пространственного пограничного слоя на проницаемой поверхности // Гиперзвуковые пространственные течения при наличии физико-химических превращений.—М.: Изд-во МГУ, 1981.
13. Брыкина И. Г., Гершбейн Э. А., Пейгин С. В. Исследование пространственного пограничного слоя на затупленных телах с проницаемой поверхностью // Изв. АН СССР. МЖГ.—1982.—№ 3.
14. Коул Дж. Методы возмущений в прикладной математике.—М.: Мир, 1972.
15. Гершбейн Э. А., Пейгин С. В. О численном решении уравнений пространственного слоя смешения // ЖВММФ.—1984.—Т. 24, № 1.
16. Петухов И. В. Численный расчет двумерных течений в пограничном слое // Численные решения дифференциальных и интегральных уравнений и квадратурные формулы.—М.: Наука, 1969.
17. Бородин А. П., Пейгин С. В. Ламинарный пространственный пограничный слой на частично проницаемой поверхности // Аэродинамика.—Томск: ТГУ, 1984.

Поступила 9/IX 1986 г.